

基于表面修饰聚丙烯酸合成超顺磁/荧光纳米复合粒子

莫志宏^{1,2}, 饶通德^{1,3}, 杨小超¹

(1. 重庆大学化学化工学院, 2. 微系统研究中心, 重庆 400044;
3. 重庆三峡学院化学与环境工程学院, 万州 404000)

摘要 在聚丙烯酸修饰的 Fe_3O_4 纳米粒子表面共价结合罗丹明 B, 获得分散性和荧光信号均得到改善的超顺磁/荧光复合纳米材料。分别用透射电子显微镜(TEM)、傅里叶变换红外光谱仪(FTIR)、热重分析仪、荧光光谱仪、X 射线衍射仪(XRD) 和振动样品磁强计(VSM) 对合成的粒子进行了表征。结果表明, 羧基化的 Fe_3O_4 纳米粒子和 Fe_3O_4 -荧光纳米复合材料的粒径基本相同, 为 6~10 nm。 Fe_3O_4 -荧光纳米复合材料的饱和磁化强度为 39.2 A·m²/kg, 室温下呈现超顺磁性, 具有较强的荧光信号。

关键词 超顺磁性; 聚丙烯酸表面修饰; 共价结合法; 荧光; 纳米复合粒子

中图分类号 O631

文献标识码 A

文章编号 0251-0790(2009)09-1881-04

磁性/荧光纳米复合材料同时拥有发光特性和磁性, 可广泛应用于磁共振成像、细胞标记和分选等重要领域^[1,2]。采用有机染料和磁性纳米粒子合成这种复合材料, 目前主要有封装法和表面修饰法, 前者是将有机染料和磁性纳米粒子一同封装在硅壳^[3]或聚合物基体中^[4]; 后者是在磁性纳米粒子的表面通过共价键合^[5,6]和静电吸附^[7]等方式结合有机染料。表面共价修饰法主要存在以下两个问题, 一是由于共价结合反应破坏表面的亲水基团(如羧基), 导致复合材料在水溶液中的分散性(水溶性)差, 限制了其生物应用^[6]; 二是由于磁性粒子对其表面荧光团存在极强的猝灭作用, 使复合材料荧光强度变弱^[2]。为此, 本文通过在磁性粒子表面修饰聚丙烯酸, 一方面, 引入大量羧基, 改善复合材料水溶性; 另一方面, 在磁性粒子和染料分子之间引入比一般手臂分子长得更多的高分子“手臂”, 大大降低磁性粒子对荧光的猝灭作用。通过原位聚合法在共沉淀法合成的 Fe_3O_4 胶体中聚合丙烯酸单体, 形成表面修饰聚丙烯酸的 Fe_3O_4 纳米粒子($\text{Fe}_3\text{O}_4@PAA$), 然后以乙二胺作为连接分子, 将罗丹明 B(RB)结合到羧基化磁性粒子表面, 获得同时具有超顺磁性和荧光特性的纳米复合材料 $\text{Fe}_3\text{O}_4@PAA-RB$ (图 1)。

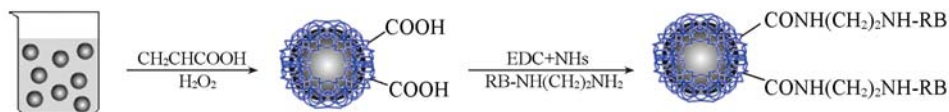


Fig. 1 Overall scheme for the synthesis of $\text{Fe}_3\text{O}_4@PAA-RB$

1 实验部分

1.1 试剂与仪器

1-乙基-3(3-二甲基氨基丙基)碳二亚胺盐酸盐(EDC)和 N-羟基丁二酰亚胺(NHS)购于 Sigma-Aldrich 公司; 罗丹明 B 购于天津市光复精细化工研究所; $\text{FeCl}_3 \cdot 6\text{H}_2\text{O}$, $\text{FeCl}_2 \cdot 4\text{H}_2\text{O}$ 和丙烯酸等其它试剂均为分析纯; 所用水为超纯水(电阻率 > 18 MΩ/cm)。

TECRAI 20 透射电子显微镜(Philips 公司); 5500 II 傅里叶变换红外光谱仪(美国 Nicolet 公司);

收稿日期: 2008-12-31。

基金项目: 科技部国际科技合作项目(批准号: 2007DFC00040)资助。

联系人简介: 莫志宏, 男, 博士, 教授, 博士生导师, 主要从事生物纳米技术等研究。E-mail: mozhh6511@163.com

DTG-60H 差热/热重分析仪(Shimadzu 公司); RF5301PC 荧光光谱仪(Shimadzu 公司); D/MAX-1200 X 射线衍射仪(日本理学电机株式会社), Co $K\alpha$, $\lambda = 0.178897$ nm; EV11 型振动样品磁强计(ADE Technologies 公司).

1.2 Fe_3O_4 纳米粒子的制备

参照文献[8]方法, 将 5 mL 0.1 mol/L FeCl_2 和 0.2 mol/L FeCl_3 的混合溶液以 1 mL/min 的速度滴加到剧烈搅拌及 N_2 气保护的 50 mL 0.2 mol/L NaOH 溶液中, 反应 30 min 后, 用 0.6 T 的磁场将所得沉淀从反应介质中分离, 并用除氧水洗涤 3 次, 最后将 Fe_3O_4 纳米颗粒分散在 50 mL 20 mmol/L HCl 溶液中.

1.3 $\text{Fe}_3\text{O}_4@PAA$ 纳米粒子的合成

将 7.5 mmol 丙烯酸和 2.5 mL 体积分数为 30% 的 H_2O_2 加到 50 mL Fe_3O_4 胶体溶液中, 搅拌反应 10 min 后, 用水洗涤 3 次, 最后用 1.0 mol/L NaOH 将所得 $\text{Fe}_3\text{O}_4@PAA$ 胶体溶液的 pH 值调节为 7.0.

1.4 $\text{Fe}_3\text{O}_4@PAA-RB$ 纳米复合材料的合成

1.4.1 RB 氨基化 将 20 μmol 乙二胺、40 μmol EDC 和 40 μmol NHS 加入到 2 mL 10 mmol/L RB 水溶液中, 搅拌反应 1 h.

1.4.2 $\text{Fe}_3\text{O}_4@PAA-RB$ 的制备 将 0.5 mL 氨基化 RB、1.9 mmol EDC 和 1.9 mmol NHS 加入到 50 mL $\text{Fe}_3\text{O}_4@PAA$ 溶液中, 搅拌反应 45 min 后, 用 0.6 T 的磁场将沉淀与溶液分离, 并用水洗涤, 直到上清液为无色后, 将所得的纳米粒子分散在 50 mL 0.01 mol/L 磷酸盐缓冲溶液(pH = 7.0)中.

1.5 $\text{Fe}_3\text{O}_4@PAA-RB$ 纳米复合材料的荧光光谱及定量分析

在 RF5301PC 荧光光谱仪上检测 $\text{Fe}_3\text{O}_4@PAA-RB$ 纳米复合材料的荧光强度, 并将其发射光谱与等摩尔罗丹明 B 的发射光谱相比较. 通过在酸性条件下分解 Fe_3O_4 纳米粒子, 将染料从磁性粒子表面释放出来, 然后将其稀释在磷酸盐缓冲溶液(pH = 7.0)中, 在荧光光谱仪上测量其荧光信号, 从荧光强度推算出磁性粒子表面染料的含量.

以上所有材料的合成均在室温下进行. 为了考察材料的生物可应用性(水溶性和稳定性), 将所制备的 $\text{Fe}_3\text{O}_4@PAA-RB$ 纳米复合材料分散在与生理条件相近的磷酸盐缓冲溶液中放置 7 d 后, 不作任何处理(如超声)对其进行测试表征.

2 结果与讨论

2.1 纳米粒子的微观形貌及粒径分析

图 2 为纳米粒子的 TEM 图. 由图 2 可见, $\text{Fe}_3\text{O}_4@PAA$ 和 $\text{Fe}_3\text{O}_4@PAA-RB$ 两种纳米粒子基本呈球形, 粒径分布基本相同, 为 6~10 nm, 均能较好分散. 但 $\text{Fe}_3\text{O}_4@PAA-RB$ 的分散性比 $\text{Fe}_3\text{O}_4@PAA$ 略差, 这主要是由于 $\text{Fe}_3\text{O}_4@PAA$ 表面的羧基部分与氨基化 RB 发生反应所致.

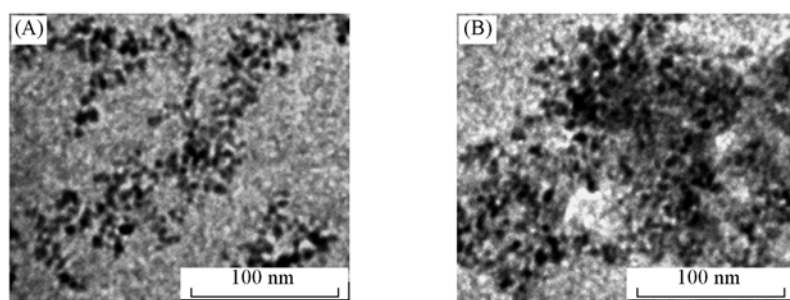


Fig. 2 TEM images of $\text{Fe}_3\text{O}_4@PAA$ (A) and $\text{Fe}_3\text{O}_4@PAA-RB$ (B)

2.2 Fe_3O_4 和 $\text{Fe}_3\text{O}_4@PAA$ 的红外光谱

图 3 为 Fe_3O_4 和 $\text{Fe}_3\text{O}_4@PAA$ 纳米粒子的红外光谱图. Fe_3O_4 的红外光谱显示, 在 3450 cm^{-1} 附近出现 O—H 伸缩振动, 1610 cm^{-1} 附近出现 O—H 变形振动, 590 cm^{-1} 附近出现 Fe—O 伸缩振动, 由此证实 Fe_3O_4 粒子表面存在羟基. 从图 3 谱线 b 可以看出, 在 1715 cm^{-1} 附近出现羰基特征峰, 1568 和

1405 cm⁻¹附近分别为 R—COO⁻的不对称伸缩振动和对称伸缩振动, 表明 PAA 的一部分羧基与 Fe₃O₄ 粒子配位形成二齿键^[9], 2930 cm⁻¹附近为 C—H 伸缩振动, 590 cm⁻¹附近出现 Fe—O 伸缩振动, 表明 PAA 成功包被在磁性粒子表面.

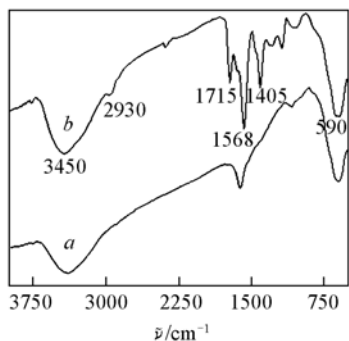


Fig. 3 FTIR spectra of iron oxide nanoparticles(a) and PAA coated iron oxide nanoparticles(b)

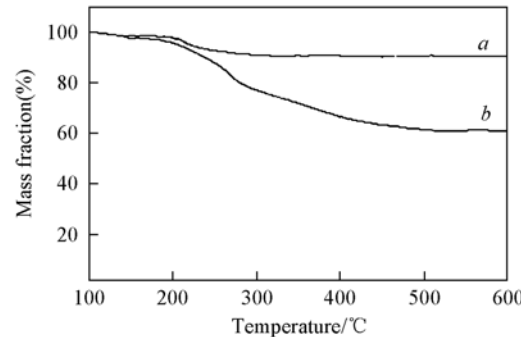


Fig. 4 TGA of iron oxide nanoparticles(a) and PAA coated iron oxide nanoparticles(b)

2.3 热重分析(TGA)

由 Fe₃O₄ 和 Fe₃O₄@PAA 纳米粒子的热重分析曲线(图 4)可见, 裸的 Fe₃O₄ 粒子在 100~400 °C 温度范围质量损失约 6%, 这可能是样品中残留水的损失. 对于 Fe₃O₄@PAA 有 2 个质量损失, 在温度为 200 °C 以下, 样品质量的减少是由于残留在样品中的水损失所引起. 在 200~450 °C 温度范围内出现明显的质量损失, 是由于聚丙烯酸燃烧分解所致. 450~600 °C 温度范围内样品的质量未出现明显变化, 表明在此温度范围只存在 Fe₃O₄, 其质量分数约为 60%. 结果表明, 磁性粒子表面包被的聚丙烯酸和 Fe₃O₄ 纳米粒子质量比接近 1:2.

2.4 Fe₃O₄@PAA-RB 的荧光特性

图 5 为 Fe₃O₄@PAA-RB 与氨基化 RB 的激发和发射光谱, 其中 RB 浓度相等. 通过计算, 如 Fe₃O₄ 粒子的平均粒径为 8 nm, 则每个磁性粒子表面可结合 10 个罗丹明 B 分子. 由图 5 可见, Fe₃O₄@PAA-RB 复合粒子有较强的荧光信号(图 5 谱线 b), 表明磁性粒子与染料分子间的非辐射能量转移即荧光猝灭效应由于 PAA 的存在明显减弱(染料分子直接包被在纳米磁性粒子表面时, 由于全部能量转移到磁性粒子上导致荧光基本完全猝灭^[2]), 复合纳米粒子的荧光信号比同浓度的 RB 低约 1.5 倍, 文献[5]报道在磁性粒子和染料间用小分子二巯基丁二酸(DMSA)作为空间隔分子时, 获得的复合纳米粒子的荧光信号比同浓度的 RB 低 2 倍, 可见本文的研究能明显减小磁性粒子对染料荧光信号猝灭效应. 同时, 该效应使 Fe₃O₄@PAA-RB 的最大发射波长相对于氨基化 RB 红移了 7 nm(572→579 nm, 见图 5 插图).

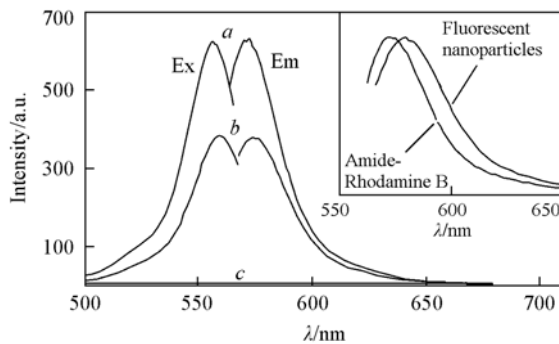


Fig. 5 Excitation and emission spectra of amide RB(a), Fe₃O₄@PAA-RB(b) and Fe₃O₄@PAA(c)

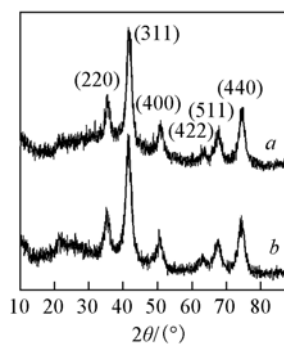


Fig. 6 XRD patterns of Fe₃O₄@PAA(a) and Fe₃O₄@PAA-RB(b)

2.5 纳米粒子结晶性及磁性能

图 6 为 Fe₃O₄@PAA 和 Fe₃O₄@PAA-RB 复合粒子的 X 射线衍射谱(XRD). 其 2θ 衍射峰分别为 35.4°(220), 41.9°(311), 50.7°(400), 63.4°(422), 67.8°(511) 和 74.7°(440), 这与 Fe₃O₄ 晶体标

准衍射峰完全一致^[10]，由此可以证实所获得的磁性纳米粒子为 Fe_3O_4 尖晶石立方晶体，从其峰形及相对强度可以看出纳米粒子具有非常好的结晶性。共价结合 RB 后其 XRD 衍射峰位置和相对强度均未发生明显变化，说明结合 RB 后对纳米粒子的结晶性不会产生明显影响。

另外， Fe_3O_4 、 $\text{Fe}_3\text{O}_4@$ PAA 和 $\text{Fe}_3\text{O}_4@$ PAA-RB 纳米材料在常温下的磁矫顽力和剩磁均为零，表明具有超顺磁性。饱和磁化强度分别为 42.9、40.6 和 39.2 A · m²/kg，与文献[8]报道的用共沉淀法制备的相似粒径的 Fe_3O_4 纳米粒子接近， $\text{Fe}_3\text{O}_4@$ PAA 和 $\text{Fe}_3\text{O}_4@$ PAA-RB 复合材料的饱和磁化强度比 Fe_3O_4 纳米粒子略低。

在优化的实验条件下聚丙烯酸和 Fe_3O_4 纳米粒子质量比接近 1:2，每个 Fe_3O_4 粒子表面结合了 10 个罗丹明 B 分子；聚丙烯酸包覆量对 $\text{Fe}_3\text{O}_4@$ PAA 饱和磁化强度的影响及罗丹明 B 的结合量对 $\text{Fe}_3\text{O}_4@$ PAA-RB 复合材料饱和磁化强度的影响有待进一步研究。以上结果表明，基于表面修饰聚丙烯酸合成出了具有良好水溶性和稳定性的超顺磁/荧光纳米复合材料，可望应用于生物医学领域。

参 考 文 献

- [1] TAN Fang(谭芳), ZHUANG Zhi-Xia(庄峙夏), YANG Huang-Hao(杨黄浩), et al.. Chem. J. Chinese Universities(高等学校化学学报)[J], 2007, **28**(8): 1483—1485
- [2] Corr S. A., Rakovich Y. P., Gun'ko Y. K.. Nanoscale Res. Lett. [J], 2008, **3**: 87—104
- [3] Lu C. W., Hung Y., Hsiao J. K., et al.. Nano. Lett. [J], 2007, **7**(1): 149—154
- [4] Holzapfel V., Lorenz M., Weiss C. K., et al.. J. Phys. Condens. Matter. [J], 2006, **18**: 2581—2594
- [5] Bertorelle F., Wilhelm C., Roger J., et al.. Langmuir[J], 2006, **22**: 5385—5391
- [6] Sahoo Y., Goodarzi A., Swihart M. T., et al.. J. Phys. Chem. B[J], 2005, **109**: 3879—3885
- [7] Corr S. A., O'Byrne A., Gun'ko Y. K., et al.. Chem. Commun. [J], 2006, **43**: 4474—4476
- [8] Mikhaylova M., Kim D. K., Bobrysheva N.. Langmuir[J], 2004, **20**: 2472—2477
- [9] Lin C. L., Lee C. F., Chiu W. Y.. J. Colloid Interface Sci. [J], 2005, **291**: 411—420
- [10] JCPDS-International Center for Diffraction Data, PCPDFWIN[DB], 1997, 11—0614

Synthesis of Superparamagnetic/Fluorescent Nanocomposites Based on Surface Modification by Polyacrylic Acid

MO Zhi-Hong^{1,2*}, RAO Tong-De^{1,3}, YANG Xiao-Chao¹

(1. College of Chemistry and Chemical Engineering, 2. Microsystem Research Centre,
Chongqing University, Chongqing 400044, China;

3. School of Chemistry and Environmental Engineering, Chongqing Three Gorges Institute, Chongqing 404000, China)

Abstract Superparamagnetic/fluorescent nanocomposites were synthesized based on surface modification by polyacrylic acid, in order to improve the dispersity and fluorescence of the nanocomposites. The obtained nanocomposites were characterized via TEM, FTIR, TGA, XRD, VSM and fluorospectroscopy. The results show that the carboxylated Fe_3O_4 nanoparticles and Fe_3O_4 -fluorescent bifunctional nanocomposites have a typical diameter of 6—10 nm. The Fe_3O_4 -fluorescent bifunctional nanocomposites have a saturated magnetization of 39.2 A · m²/kg at room temperature and high fluorescent signal. The new magneto-fluorescent nanoagent has great potential applications for biological and medical uses.

Keywords Superparamagnetic; Surface modification by polyacrylic acid; Covalent combination; Fluorescence; Nanocomposite

(Ed. : D, Z)